

## Effect of Fe<sub>4</sub>NiO<sub>4</sub>Zn Nanoparticles on Serum Urea-Uric Acid and Creatinine in Male Rat

Negin Azadeh<sup>1</sup>, Zahra Hooshmandi<sup>2\*</sup>, Mahbubeh Setorki<sup>3</sup>

<sup>1</sup>Department of Biology, Hamedan Branch, Islamic Azad University, Hamedan, Iran

<sup>2</sup>Department of Biology, Sanandaj Branch, Islamic Azad University, Sanandaj ,Iran

<sup>3</sup>Department of Biology, Izeh Branch, Islamic Azad University, Izeh, Iran

Received: 11 Feb, 2015      Accepted: 20 May, 2015

### Abstract

**Background and Objectives:** Regarding to the increasing of zinc oxide-iron-nickel nanoparticles and their applications in the biological systems, it seems that there are less investigations on their side effects in the organisms. In this research the effect of Fe<sub>4</sub>NiO<sub>4</sub>Zn nanoparticles on renal function was investigated.

**Materials and Methods:** Twenty four Wistar rat were studied. They were divided into three groups: 1) control group (2,3) treated groups, These groups received . . /5cc of saline, /5cc of solution containing 100, 200 ppm Fe<sub>2</sub>NiO<sub>4</sub> for 7 successive days, respectively. Then renal parameters such as uric acid, creatinine and BUN (blood urea nitrogen) were evaluated at (2, 7 and 14 days).

**Results:** Mean uric acid levels, at 7 day after the intervention, were significantly increased in both doses. Also, in group 2 (Fe<sub>4</sub>NiO<sub>4</sub>Zn 100 ppm), mean uric acid, levels at 7, 14 day after the intervention were significantly increased. Mean BUN levels showed significant decrease in comparison with control group (at 2-7-14 days) in both doses. In high dose (Fe<sub>4</sub>NiO<sub>4</sub>Zn 200 ppm), mean creatinine levels showed significant decrease.

**Conclusion:** Results of this study showed that Fe<sub>4</sub>NiO<sub>4</sub>Zn can influence the renal function. The difference in tissue distribution, penetration, and damage of nanoparticles in various studies is probably due to the difference in their synthesis method that leads to the changes in size, shape, and other physical and chemical properties of nanoparticles. It seems that the application of Fe<sub>4</sub>NiO<sub>4</sub>Zn nanoparticles in the biological system has no stable and long-term toxic effects on the animal body. Probably the reticuloendothelial system excretes the nanoparticles from the body.

**Keywords:** Rat, BUN, Creatinine, Uric Acid, Nanoparticle

\*corresponding Author

E-mail: zhoushmandi@yahoo.com

## تأثیر نانو ذره $\text{Fe}_4\text{NiO}_4\text{Zn}$ بر فاکتورهای کلیوی اوره کراتینین و اسیداوریک در رتهای نر

نگین آزاده<sup>۱</sup>، زهرا هوشمندی<sup>۲\*</sup>، محبوبه سترکی<sup>۳</sup>

<sup>۱</sup> گروه زیست شناسی، واحد همدان، دانشگاه آزاد اسلامی، همدان، ایران

<sup>۲</sup> گروه زیست شناسی، واحد سنترج، دانشگاه آزاد اسلامی، سنترج، ایران

<sup>۳</sup> گروه زیست شناسی، واحد ایذه، دانشگاه آزاد اسلامی، ایذه، ایران

دریافت: ۹۳/۱۱/۲۲ پذیرش: ۹۴/۲/۳۰

### چکیده

**زمینه و اهداف:** با توجه به تولید روز افزون نانوذرات اکسیدریوی، آهن و نیکل و کاربردهای مفید آنها در سیستمهای بیولوژیک، تاکنون مطالعات کمی در زمینه اثرات جانی نانوذره  $\text{Fe}_4\text{NiO}_4\text{Zn}$  بر بدن جانداران صورت گرفته است. در تحقیق حاضر تأثیر این نانوذره بر عملکرد کلیه مورد بررسی قرار گرفته است.

**مواد و روش‌ها:** این مطالعه به صورت تجربی بر روی ۲۴ رت نر نژاد Wistar انجام شد. حیوانات به ۳ گروه ۸ تابی تقسیم گردیدند: گروه اول: گروه کنترل که به میزان ۵٪ میلی لیتر سرم فیزیولوژی دریافت کردند. به گروه دوم - سوم به ترتیب ۰/۵ و ۰/۱ میلی لیتر از نانوذرات  $\text{Fe}_4\text{NiO}_4\text{Zn}$  با غاظت ppm ۲۰۰ تزریق شد (به مدت ۷ روز متوالی). روزهای دوم - هفتم و چهاردهم بعد از تیمار خون گیری انجام شد. فاکتورهای بیوشیمیایی اوره (BUN)-اسید اوریک و کراتینین اندازه گیری شدند.

**یافته‌ها:** در روز هفتم پس از تیمار، میزان اسید اوریک در هر دو دوز تیمار افزایش معنی دار نشان داد. در گروه دوم ، میزان اسید اوریک در روزهای ۲ و ۱۴ پس از تیمار نیز افزایش معنی دار یافت. میزان اوره در هر دو دوز تیمار در روزهای ۷-۲-۱۴ نسبت به گروه کنترل کاهش نشان داد. میزان کراتینین فقط در دوز بالا، کاهش معنی دار داشت.

**نتیجه گیری:** نتایج این تحقیق نشان دهنده تأثیر نانوذره  $\text{Fe}_4\text{NiO}_4\text{Zn}$  بر عملکرد کلیه است. علت تفاوت در توزیع و نفوذ بافتی و آسیب بافتی نانوذرات در مطالعات مختلف احتمالاً تفاوت در روش سترکی می باشد که منجر به تغییر در اندازه-شکل و خواص فیزیکی و شیمیایی دیگر در نانوذرات شده است. بنابراین تأثیر و برهمکنش چین نانوذراتی با سلولها و بافت‌های بدن جانور متفاوت خواهد بود. به نظر می رسد کاربرد نانوذرات  $\text{Fe}_4\text{NiO}_4\text{Zn}$  در موارد بیولوژیک، اثر سمی پایدار و طولانی مدت بر بدن جانداران ایجاد نمی کند و احتمالاً سیستم ریکولواندوتیال موجود در بدن قادر به دفع یا تجزیه آنها می باشد.

**کلید واژه‌ها:** رت، اوره، کراتینین، اسیداوریک، نانوذره

\*ایمیل نویسنده رابط: zhoushmandi@yahoo.com

### مقدمه

بیماری‌ها، ارسال هدفمند و مؤثر دارو به مناطق مورد نظر بدن، کاهش استفاده از آلاینده‌ها، ارائه‌ی روش‌های ساخت و تولید سریعتر، ایمن‌تر، پاکتر، ساخت وسایل و تجهیزات کوچکتر، سبکتر، سریعتر با عمر طولانی تر تنها برخی از این موارد هستند (۱).

از طرفی فرضیه‌ی مطرح شده نسبت به آسیب‌های احتمالی حاصل از نانوفناوری به طرز تهدید آمیزی باعث کندی روند رشد و توسعه فناوری نانو خواهد شد. مگر آنکه اطلاعات صحیح، بی‌طرفانه و قانون مند درباره چیستی خطرها و چگونگی پرهیز از آنها منتشر شود. اگر چه هم اکنون اطلاعات کمی در ارتباط با سه شناسی انسانی نانومواد در دسترس است، با این وجود با توجه به

نانوذرات دارای ویژگی‌های بسیار خاص شیمیایی و فیزیکی از نظر اندازه، شکل و نسبت بالای سطح به حجم می باشند که این صفات کاربرد آنها را در بسیاری از موارد پزشکی و بیولوژیک مناسب ساخته است. با ورود نانوذرات به دنیای علم و تکنولوژی استقبال فراوانی از آن جهت کاربردهای مختلف پزشکی، صنعتی، کشاورزی و بیولوژیکی صورت گرفته است.

با ورود نتایج حاصل از نانوتکنولوژی به بازار و تجاری سازی آن در آینده نزدیک عرصه‌های مختلف زندگی بشر شامل بهداشت و درمان، محیط زیست، منابع طبیعی، بازیافت و انرژی تاثیرات شگرفی را شاهد خواهند بود. بهبود روش‌های تشخیص و درمان

خریداری شد. برای اطمینان از صحت ابعاد نانوذرات با شناسنامه فوق الذکر یک گرم از نانو ذره به دانشکده مهندسی مواد دانشگاه آزاد اسلامی واحد نجف آباد ارسال شد و این مرکز با آزمایشات X-ray صحت این نانوذره و اندازه‌ی قطر آنرا تأیید کرد. تصویر میکروسکوپ الکترونی TEM (میکروسکوپ TEM مدل H600 کمپانی سازنده: Philips) از نانوذره مذکور با نضمam الگوی پراش اشعه X در ادامه نشان داده شده است (شکل ۱).

برای تعیین غلظت نانوذره  $\text{Fe}_4\text{NiO}_4\text{Zn}$  دو محلول مادر تهیه می‌کنیم.

#### ۱- غلظت ۱۰۰ نانو مدل نانومول ( محلول مادر):

مقدار ۱۰۰ میلی گرم نانوذره مورد نظر را در ۱۰ میلی لیتر آب مقطار حل کرده ( $100 \text{ mg}/10\text{ml}$ )، آنچه که به دست می‌آید، غلظت ۱۰۰ نانو مدل مول از نانوذره خواهد بود. سپس مقدار نانوذره لازم جهت تزریق به یک رت ۱۵۰ گرمی، در غلظت ۱۰۰ میلی گرم بر کیلوگرم به روش زیر از نمونه محلول مادر تهیه گردید.

غلظت  $100\text{mg/kg}$  مقدار تزریق شده به موش  $150 \text{ g} = 1/5 \text{ ml}$  میلی لیتر

$100\text{mg}$        $1000\text{gr}$   
 $X$                  $150\text{gr}$        $X=1/5 \text{ ml}$

#### ۲- غلظت $200 \text{ nm}$ ( محلول مادر):

مقدار  $200 \text{ mg}/20\text{ml}$ ، آنچه که به دست می‌آید، غلظت  $200 \text{ nm}$  مول از نانوذره خواهد بود. سپس مقدار نانوذره لازم جهت تزریق به یک رت ۱۵۰ گرمی، در غلظت  $200 \text{ mg}/20\text{ml}$  میلی گرم بر کیلوگرم به روش زیر از نمونه محلول مادر تهیه گردید:

غلظت  $200 \text{ mg}/20\text{ml}$  میلی گرم بر کیلوگرم مقدار تزریق شده به موش  $150 \text{ g} = 3 \text{ ml}$

$200\text{mg}$        $1000\text{gr}$   
 $X$                  $150\text{gr}$        $X=3 \text{ ml}$

به همین ترتیب مقدار لازم از محلول مادر او ۲ جهت تزریق به رت ها با وزنهای مختلف مhaftاً محاسبه گردید و توسط سرنگ انسولین به صورت درون صفاقی به رت ها تزریق گردید.

ویژگیهای فیزیکی شیمیابی نانومواد پیش بینی می‌شود که این مواد با اجزای زیستی برهم کنش داشته باشد و اثرات زیادی را بر رفتار و خصوصیات ماکروملکول ها و سلول های بدن موجود ات زنده به جای بگذارد (۲).

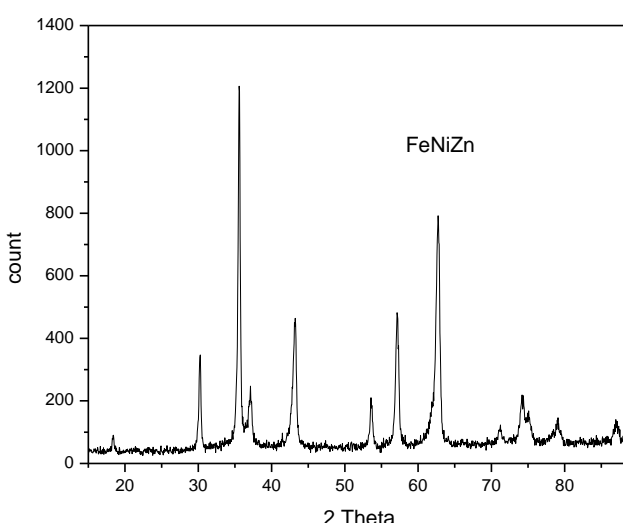
تحقیقات نشان می‌دهد که سمیت ایجاد شده توسط نانوذرات عبارت است از: استرس اکسیداتیو، التهاب، آسیب ژنتیکی، مهار تقسیم بدن و مرگ سلول و ... (۳). تولید رادیکالهای آزاد اکسیژن (ROS) که می‌تواند در طی فعل و انفعالات بیولوژیکی مضر یا محافظت باشد) و متعاقب آن، استرس اکسیداتیو، غالباً به همراه سمیت با نانو ذرات مشاهده می‌گردد (۴).

نانوذرات مشکل از عناصری مانند کربالت، آهن و نیکل با خواص مغناطیسی، "نانوذرات مگنتیک یا مغناطیسی" نامیده می‌شوند (۵). نانوذرات مغناطیسی برای شرایط مختلف پزشکی مورد استفاده قرار می‌گیرند (۶).

همانطور که می‌دانیم میزان کراتینین خون به سرعت عملکرد گلومرولهای کلیوی بستگی دارد که خود بیانگر کارایی کلیه‌ها می‌باشد. زمانیکه مقدار کراتینین بیشتر از حد نرمال باشد موجب می‌شود تا عملکرد کلیه‌ها به طور جدی مختل گردد. تنظیم اوره نیز توسط کلیه‌ها یک بخش حیاتی از متابولیسم بدن را تشکیل می‌دهد. از طرفی یکی از عوامل مهم بررسی سمیت نانوذرات بر کلیه، بررسی اسید اوریک می‌باشد (۷). از آنجاییکه تغیرات بیوشیمیابی در بافت کلیه توسط نانو ذرات  $\text{Fe}_4\text{NiO}_4\text{Zn}$  تاکنون مورد بررسی قرار نگرفته، هدف این تحقیق بررسی تاثیر این نانوذره بر فاکتورهای بیوشیمیابی کلیه و عملکرد آن می‌باشد.

## مواد و روش‌ها

۲۵ گرم،  $\text{Fe}_4\text{NiO}_4\text{Zn}$  از شرکت یاسا طب، که به صورت تجاری از کمپانی sigma این نانوذره را تهیه می‌کند، با مشخصات:  $<100\text{nm}$  particle size,  $>99\%$  trace metal basis, linear formula:  $\text{Fe}_4\text{NiO}_4\text{Zn}$ ; form: nanopowder; CAS number: 12645-50-0; molecular weight: 411, 46; density: 2, 81 gr/ml at  $25^\circ\text{C}$



شکل ۱: نانوذره x-ray  $\text{Fe}_4\text{NiO}_4\text{Zn}$  ۲۶ nm:  $d=0.9*1.504/(0.31*3.14/180)*\cos 17.77=262\text{A}=26 \text{ nm}$

(100ppnm) و میانگین گروه (200ppnm) Fe2NiO4Zn تفاوت معنی دار مشاهده شد ( $p < 0.001$ ).<sup>(۱)</sup>

در مورد فاکتور اسید اوریک در روز هفتم مداخله، بین میانگین گروه کترل و میانگین گروه (200ppnm) Fe2NiO4Zn (200ppnm) معنی دار مشاهده شد ( $p < 0.001$ ), و همچنین بین میانگین گروه Fe2NiO4Zn (100ppnm) و میانگین گروه (Fe2NiO4Zn) (100ppnm) تفاوت معنی دار مشاهده شد ( $p = 0.001$ ).<sup>(۲)</sup>

در مورد فاکتور اسید اوریک در روز چهاردهم مداخله، بین میانگین گروه کترول و میانگین گروه (200ppnm) Fe2NiO4Zn (100ppnm) تفاوت معنی دار مشاهده شد ( $p = 0.001$ ) و همچنین بین میانگین گروه Fe2NiO4Zn (100ppnm) و میانگین گروه (Fe2NiO4Zn) (100ppnm) تفاوت معنی دار مشاهده شد ( $p < 0.001$ ).<sup>(۳)</sup>

در مورد فاکتور اوره در روز دوم مداخله، بین میانگین گروه کترول و میانگین گروه (200ppnm) Fe2NiO4Zn تفاوت معنی دار مشاهده شد ( $p < 0.001$ ) و همچنین بین میانگین گروه کترول و میانگین گروه (200ppnm) Fe2NiO4Zn تفاوت معنی دار مشاهده شد ( $p < 0.001$ ) و همچنین بین میانگین گروه (200ppnm) Fe2NiO4Zn (100ppnm) و میانگین گروه (200ppnm) Fe2NiO4Zn تفاوت معنی دار مشاهده شد ( $p < 0.001$ ).<sup>(۴)</sup>

در مورد فاکتور اوره در روز چهاردهم مداخله، بین میانگین گروه کترول و میانگین گروه (200ppnm) Fe2NiO4Zn تفاوت معنی دار مشاهده شد ( $p < 0.001$ ) و همچنین بین میانگین گروه کترول و میانگین گروه (200ppnm) Fe2NiO4Zn تفاوت معنی دار مشاهده شد ( $p < 0.001$ ).<sup>(۵)</sup>

در مورد فاکتور کراتینین در روز های دوم و هفتم مداخله اختلاف معنی داری بین گروهها مشاهده نشد. در مورد فاکتور کراتینین در روز چهاردهم مداخله، بین میانگین گروه کترول و میانگین گروه Fe2NiO4Zn (100ppnm) تفاوت معنی دار مشاهده شد ( $p = 0.001$ ).<sup>(۶)</sup>

این مطالعه به صورت تجربی بر روی ۲۴ رت نر نژاد Wistar انجام شد. این حیوانات از دانشگاه علوم پزشکی کرمانشاه خردیاری و به منظور آماده سازی برای آزمایش به مدت دو هفته در لانه حیوانات دانشگاه آزاد اسلامی واحد سنتج نگهداری شدند. حیوانات در شرایط و درجه حرارت مناسب آزمایشگاهی، درجه حرارت ( $22 \pm 2$ ) درجه سلسیوس و نور کافی اتاق (۱۲ ساعت روشنایی و ۱۲ ساعت تاریکی) نگهداری شدند. حیوانات دارای میانگین وزنی  $43 \pm 2.34$  گرم بودند و به ۳ گروه ۸ تایی تقسیم گردیدند. این گروهها شامل: گروه اول: گروه کترول که به میزان ۵/ میلی لیتر سرم فیزیولوژی دریافت کردند. به گروه دوم - سوم به ترتیب: ۰/۵ میلی لیتر از نانوذرات  $\text{Fe}_4\text{NiO}_4\text{Zn}$  با غلظت ۱۰۰ ppm و ۲۰۰ تزریق شد. این تزریقات به مدت ۷ روز متوالی انجام شد. در ضمن شیوه تزریق در تمام گروهها درون صفاقی بود (۷). روزهای دوم، هفتم و چهاردهم بعد از تیمار خون گیری انجام شد. فاکتورهای بیوشیمیایی اوره (BUN) اسید اوریک و کراتینین اندازه گیری شدند. این فاکتورها با استفاده از کیت های بیوشیمیایی (Hitachi Automatic Analyzer, 902) و دستگاه اتوانالایزر (Hitachi Automatic Analyzer, 902) اندازه گیری شدند. خون گیری از گوش پلاک چشم حیوانات به کمک لوله موئینه انجام گرفت. نمونه های خون به مدت ۱۵ دقیقه مانتریفیوژ شده (3000RPM/ Minute) و سرم آن ها جدا گردید.

## نتایج

برای سنجش آماری داده ها از نرم افزار SPSS v.19 استفاده شد. تمام نتایج به دست آمده به صورت  $\text{Mean} \pm \text{SD}$  محاسبه شده است. سطح معنی داری  $p < 0.05$  برای تمام آنالیزها در نظر گرفته شده است. از مدل MANOVA (زمانهای اندازه گیری به عنوان متغیر های وابسته) برای مقایسه میانگین هر یک از فاکتورها در سه گروه و سپس پس آزمون Dunet استفاده شد ( $p < 0.01$ ).<sup>(۸)</sup>

در مورد فاکتور اسید اوریک در روز دوم مداخله، بین میانگین گروه کترول و میانگین گروه (200ppnm) Fe2NiO4Zn تفاوت معنی دار مشاهده شد ( $p < 0.001$ ) و بین میانگین گروه کترول و میانگین گروه (200ppnm) Fe2NiO4Zn تفاوت معنی دار مشاهده شد ( $p < 0.001$ ) و همچنین بین میانگین گروه (200ppnm) Fe2NiO4Zn (100ppnm) و میانگین گروه (200ppnm) Fe2NiO4Zn تفاوت معنی دار مشاهده شد ( $p < 0.001$ ).<sup>(۹)</sup>

جدول ۱: میانگین تغییرات اسید اوریک در گروههای کترول و تیمار: (Fe2NiO4Zn 100ppnm) – Fe2NiO4Zn (200ppnm) در روزهای ۱، ۷، ۱۴ (Fe2NiO4Zn 100ppnm) در روزهای ۲، ۶

اسید اوریک	P.V
کترول	
$\text{Fe}_4\text{NiO}_4\text{Zn}(100\text{ppnm})$	
$\text{Fe}_4\text{NiO}_4\text{Zn}(200\text{ppnm})$	
دور روز بعد از تیمار	
یک هفته بعد	
دو هفته بعد	
$\text{Fe}_4\text{NiO}_4\text{Zn}(100\text{ppnm})$	
$\text{Fe}_4\text{NiO}_4\text{Zn}(200\text{ppnm})$	
دور روز بعد از تیمار	
اووه	
کترول	
$\text{Fe}_4\text{NiO}_4\text{Zn}(100\text{ppnm})$	
$\text{Fe}_4\text{NiO}_4\text{Zn}(200\text{ppnm})$	
دور روز بعد از تیمار	
اووه	
کترول	
$\text{Fe}_4\text{NiO}_4\text{Zn}(100\text{ppnm})$	
$\text{Fe}_4\text{NiO}_4\text{Zn}(200\text{ppnm})$	
دور روز بعد از تیمار	
اووه	
کترول	
$\text{Fe}_4\text{NiO}_4\text{Zn}(100\text{ppnm})$	
$\text{Fe}_4\text{NiO}_4\text{Zn}(200\text{ppnm})$	
دور روز بعد از تیمار	
اووه	
کترول	
$\text{Fe}_4\text{NiO}_4\text{Zn}(100\text{ppnm})$	
$\text{Fe}_4\text{NiO}_4\text{Zn}(200\text{ppnm})$	
دور روز بعد از تیمار	
اووه	
کترول	
$\text{Fe}_4\text{NiO}_4\text{Zn}(100\text{ppnm})$	
$\text{Fe}_4\text{NiO}_4\text{Zn}(200\text{ppnm})$	
دور روز بعد از تیمار	
اووه	
کترول	
$\text{Fe}_4\text{NiO}_4\text{Zn}(100\text{ppnm})$	
$\text{Fe}_4\text{NiO}_4\text{Zn}(200\text{ppnm})$	
دور روز بعد از تیمار	
اووه	
کترول	
$\text{Fe}_4\text{NiO}_4\text{Zn}(100\text{ppnm})$	
$\text{Fe}_4\text{NiO}_4\text{Zn}(200\text{ppnm})$	
دور روز بعد از تیمار	
اووه	
کترول	
$\text{Fe}_4\text{NiO}_4\text{Zn}(100\text{ppnm})$	
$\text{Fe}_4\text{NiO}_4\text{Zn}(200\text{ppnm})$	
دور روز بعد از تیمار	
اووه	
کترول	
$\text{Fe}_4\text{NiO}_4\text{Zn}(100\text{ppnm})$	
$\text{Fe}_4\text{NiO}_4\text{Zn}(200\text{ppnm})$	
دور روز بعد از تیمار	
اووه	
کترول	
$\text{Fe}_4\text{NiO}_4\text{Zn}(100\text{ppnm})$	
$\text{Fe}_4\text{NiO}_4\text{Zn}(200\text{ppnm})$	
دور روز بعد از تیمار	
اووه	
کترول	
$\text{Fe}_4\text{NiO}_4\text{Zn}(100\text{ppnm})$	
$\text{Fe}_4\text{NiO}_4\text{Zn}(200\text{ppnm})$	
دور روز بعد از تیمار	
اووه	
کترول	
$\text{Fe}_4\text{NiO}_4\text{Zn}(100\text{ppnm})$	
$\text{Fe}_4\text{NiO}_4\text{Zn}(200\text{ppnm})$	
دور روز بعد از تیمار	
اووه	
کترول	
$\text{Fe}_4\text{NiO}_4\text{Zn}(100\text{ppnm})$	
$\text{Fe}_4\text{NiO}_4\text{Zn}(200\text{ppnm})$	
دور روز بعد از تیمار	
اووه	
کترول	
$\text{Fe}_4\text{NiO}_4\text{Zn}(100\text{ppnm})$	
$\text{Fe}_4\text{NiO}_4\text{Zn}(200\text{ppnm})$	
دور روز بعد از تیمار	
اووه	
کترول	
$\text{Fe}_4\text{NiO}_4\text{Zn}(100\text{ppnm})$	
$\text{Fe}_4\text{NiO}_4\text{Zn}(200\text{ppnm})$	
دور روز بعد از تیمار	
اووه	
کترول	
$\text{Fe}_4\text{NiO}_4\text{Zn}(100\text{ppnm})$	
$\text{Fe}_4\text{NiO}_4\text{Zn}(200\text{ppnm})$	
دور روز بعد از تیمار	
اووه	
کترول	
$\text{Fe}_4\text{NiO}_4\text{Zn}(100\text{ppnm})$	
$\text{Fe}_4\text{NiO}_4\text{Zn}(200\text{ppnm})$	
دور روز بعد از تیمار	
اووه	
کترول	
$\text{Fe}_4\text{NiO}_4\text{Zn}(100\text{ppnm})$	
$\text{Fe}_4\text{NiO}_4\text{Zn}(200\text{ppnm})$	
دور روز بعد از تیمار	
اووه	
کترول	
$\text{Fe}_4\text{NiO}_4\text{Zn}(100\text{ppnm})$	
$\text{Fe}_4\text{NiO}_4\text{Zn}(200\text{ppnm})$	
دور روز بعد از تیمار	
اووه	
کترول	
$\text{Fe}_4\text{NiO}_4\text{Zn}(100\text{ppnm})$	
$\text{Fe}_4\text{NiO}_4\text{Zn}(200\text{ppnm})$	
دور روز بعد از تیمار	
اووه	
کترول	
$\text{Fe}_4\text{NiO}_4\text{Zn}(100\text{ppnm})$	
$\text{Fe}_4\text{NiO}_4\text{Zn}(200\text{ppnm})$	
دور روز بعد از تیمار	
اووه	
کترول	
$\text{Fe}_4\text{NiO}_4\text{Zn}(100\text{ppnm})$	
$\text{Fe}_4\text{NiO}_4\text{Zn}(200\text{ppnm})$	
دور روز بعد از تیمار	
اووه	
کترول	
$\text{Fe}_4\text{NiO}_4\text{Zn}(100\text{ppnm})$	
$\text{Fe}_4\text{NiO}_4\text{Zn}(200\text{ppnm})$	
دور روز بعد از تیمار	
اووه	
کترول	
$\text{Fe}_4\text{NiO}_4\text{Zn}(100\text{ppnm})$	
$\text{Fe}_4\text{NiO}_4\text{Zn}(200\text{ppnm})$	
دور روز بعد از تیمار	
اووه	
کترول	
$\text{Fe}_4\text{NiO}_4\text{Zn}(100\text{ppnm})$	
$\text{Fe}_4\text{NiO}_4\text{Zn}(200\text{ppnm})$	
دور روز بعد از تیمار	
اووه	
کترول	
$\text{Fe}_4\text{NiO}_4\text{Zn}(100\text{ppnm})$	
$\text{Fe}_4\text{NiO}_4\text{Zn}(200\text{ppnm})$	
دور روز بعد از تیمار	
اووه	
کترول	
$\text{Fe}_4\text{NiO}_4\text{Zn}(100\text{ppnm})$	
$\text{Fe}_4\text{NiO}_4\text{Zn}(200\text{ppnm})$	
دور روز بعد از تیمار	
اووه	
کترول	
$\text{Fe}_4\text{NiO}_4\text{Zn}(100\text{ppnm})$	
$\text{Fe}_4\text{NiO}_4\text{Zn}(200\text{ppnm})$	
دور روز بعد از تیمار	
اووه	
کترول	
$\text{Fe}_4\text{NiO}_4\text{Zn}(100\text{ppnm})$	
$\text{Fe}_4\text{NiO}_4\text{Zn}(200\text{ppnm})$	
دور روز بعد از تیمار	
اووه	
کترول	
$\text{Fe}_4\text{NiO}_4\text{Zn}(100\text{ppnm})$	
$\text{Fe}_4\text{NiO}_4\text{Zn}(200\text{ppnm})$	
دور روز بعد از تیمار	
اووه	
کترول	
$\text{Fe}_4\text{NiO}_4\text{Zn}(100\text{ppnm})$	
$\text{Fe}_4\text{NiO}_4\text{Zn}(200\text{ppnm})$	
دور روز بعد از تیمار	
اووه	
کترول	
$\text{Fe}_4\text{NiO}_4\text{Zn}(100\text{ppnm})$	
$\text{Fe}_4\text{NiO}_4\text{Zn}(200\text{ppnm})$	
دور روز بعد از تیمار	
اووه	
کترول	
$\text{Fe}_4\text{NiO}_4\text{Zn}(100\text{ppnm})$	
$\text{Fe}_4\text{NiO}_4\text{Zn}(200\text{ppnm})$	
دور روز بعد از تیمار	
اووه	
کترول	
$\text{Fe}_4\text{NiO}_4\text{Zn}(100\text{ppnm})$	
$\text{Fe}_4\text{NiO}_4\text{Zn}(200\text{ppnm})$	
دور روز بعد از تیمار	
اووه	
کترول	
$\text{Fe}_4\text{NiO}_4\text{Zn}(100\text{ppnm})$	
$\text{Fe}_4\text{NiO}_4\text{Zn}(200\text{ppnm})$	
دور روز بعد از تیمار	
اووه	
کترول	
$\text{Fe}_4\text{NiO}_4\text{Zn}(100\text{ppnm})$	
$\text{Fe}_4\text{NiO}_4\text{Zn}(200\text{ppnm})$	
دور روز بعد از تیمار	
اووه	
کترول	
$\text{Fe}_4\text{NiO}_4\text{Zn}(100\text{ppnm})$	
$\text{Fe}_4\text{NiO}_4\text{Zn}(200\text{ppnm})$	
دور روز بعد از تیمار	
اووه	
کترول	
$\text{Fe}_4\text{NiO}_4\text{Zn}(100\text{ppnm})$	
$\text{Fe}_4\text{NiO}_4\text{Zn}(200\text{ppnm})$	
دور روز بعد از تیمار	
اووه	
کترول	
$\text{Fe}_4\text{NiO}_4\text{Zn}(100\text{ppnm})$	
$\text{Fe}_4\text{NiO}_4\text{Zn}(200\text{ppnm})$	
دور روز بعد از تیمار	
اووه	
کترول	
$\text{Fe}_4\text{NiO}_4\text{Zn}(100\text{ppnm})$	
$\text{Fe}_4\text{NiO}_4\text{Zn}(200\text{ppnm})$	
دور روز بعد از تیمار	
اووه	
کترول	
$\text{Fe}_4\text{NiO}_4\text{Zn}(100\text{ppnm})$	
$\text{Fe}_4\text{NiO}_4\text{Zn}(200\text{ppnm})$	
دور روز بعد از تیمار	
اووه	
کترول	
$\text{Fe}_4\text{NiO}_4\text{Zn}(100\text{ppnm})$	
$\text{Fe}_4\text{NiO}_4\text{Zn}(200\text{ppnm})$	
دور روز بعد از تیمار	
اووه	
کترول	
$\text{Fe}_4\text{NiO}_4\text{Zn}(100\text{ppnm})$	
$\text{Fe}_4\text{NiO}_4\text{Zn}(200\text{ppnm})$	
دور روز بعد از تیمار	
اووه	
کترول	
$\text{Fe}_4\text{NiO}_4\text{Zn}(100\text{ppnm})$	
$\text{Fe}_4\text{NiO}_4\text{Zn}(200\text{ppnm})$	
دور روز بعد از تیمار	
اووه	
کترول	
$\text{Fe}_4\text{NiO}_4\text{Zn}(100\text{ppnm})$	
$\text{Fe}_4\text{NiO}_4\text{Zn}(200\text{ppnm})$	
دور روز بعد از تیمار	
اووه	
کترول	
$\text{Fe}_4\text{NiO}_4\text{Zn}(100\text{ppnm})$	
$\text{Fe}_4\text{NiO}_4\text{Zn}(200\text{ppnm})$	
دور روز بعد از تیمار	
اووه	
کترول	
$\text{Fe}_4\text{NiO}_4\text{Zn}(100\text{ppnm})$	
$\text{Fe}_4\text{NiO}_4\text{Zn}(200\text{ppnm})$	
دور روز بعد از تیمار	
اووه	
کترول	
$\text{Fe}_4\text{NiO}_4\text{Zn}(100\text{ppnm})$	
$\text{Fe}_4\text{NiO}_4\text{Zn}(200\text{ppnm})$	
دور روز بعد از تیمار	
اووه	
کترول	
$\text{Fe}_4\text{NiO}_4\text{Zn}(100\text{ppnm})$	
$\text{Fe}_4\text{NiO}_4\text{Zn}(200\text{ppnm})$	
دور روز بعد از تیمار	
اووه	
کترول	
$\text{Fe}_4\text{NiO}_4\text{Zn}(100\text{ppnm})$	
$\text{Fe}_4\text{NiO}_4\text{Zn}(200\text{ppnm})$	
دور روز بعد از تیمار	
اووه	
کترول	
$\text{Fe}_4\text{NiO}_4\text{Zn}(100\text{ppnm})$	
$\text{Fe}_4\text{NiO}_4\text{Zn}(200\text{ppnm})$	
دور روز بعد از تیمار	
اووه	
کترول	
$\text{Fe}_4\text{NiO}_4\text{Zn}($	

جدول ۳ میانگین تغییرات کراتینین در گروههای کترل و تیمار: (Fe2Nio4Zn 100ppnm) - Fe2Nio4Zn (200ppnm) در روزهای ۲، ۷، ۱۴	
دو هفته بعد	یک هفته بعد
$0.04 \pm 0.06$	$0.05 \pm 0.09$
$0.03 \pm 0.05$	$0.03 \pm 0.02$
$0.03 \pm 0.09$	$0.08 \pm 0.03$
$0.048$	$0.083$
دور روز بعد از تیمار	دور روز بعد از تیمار
	$0.04 \pm 0.09$
	$0.06 \pm 0.07$
	$0.05 \pm 0.03$
	$0.057$
کترل	Fe4Nio4Zn(100ppnm)
	Fe4Nio4Zn(200ppnm)
	P.V

## بحث

نانوذرات به صورت دانه های آبی تیره در بافت کلیه و کبد بدون هیچگونه اختلال بافتی بود. هیچ اختلاف معنی دار در گروه تیمار نسبت به کترل در میزان اسید اوریک اوره و کراتینین مشاهده نشد. به طور کلی محققین مختلف (۲۰-۲۳) علت عدم ایجاد اثرات سمی نانو ذرات اکسید اهن را به حذف سریع مقداری از انها توسط ریتیکولاندوتیلیا موجود در کبد، طحال و گره های لنفاوی و در نتیجه دفع نانو ذرات از بدن و ازین رفتن ویژگیهای اختصاصی نانو ذرات به علت اتصال مواد الی به انها و عدم جذب آنها در اندامها نسبت می دهند.

نوری و همکاران تاثیر نانو ذرات اکسید روی را بر عملکرد کلیه و فاکتورهای کلیوی (اوره، کراتینین، اسیداوریک) پس از گذشت ۸ و ۳۰ روز از تیمار در موش کوچک آزمایشگاهی بررسی کردند. نتایج این تحقیق نشان داد که پس از گذشت ۸ روز از تزریق، مقدار اوره و کراتینین در گروه  $300\text{mg/kg}$  به طور معنی دار افزایش یافت و مقدار اوریک اسید در تمامی گروههای تیمار نسبت به گروه شاهد کاهش معنی دار داشت. به نظر می رسد که یکبار تزریق نانوذرات اکسید روی به خصوص در دوزهای بالا (۳۰۰mg/kg) قادر است در کوتاه مدت (۸ روز) بر عملکرد کلیه تاثیر بگذارد. اما پس از گذشت یک ماه، احتمالاً با دفع تدریجی نانوذرات جذب شده به داخل کلیه، این اثرات از بین می رود با این حال انجام تحقیق با تعداد تزریقات بیشتر ضروری است (۲۴).

نجف زاده و همکاران نیز تاثیر نانوذرات اکسید روی را بر فاکتورهای بیوشیمیابی کلیه در گوسفندها مورد بررسی قرار دادند. نتایج این تحقیق نشان دهنده افزایش میزان کراتینین و عدم تغییر میزان اوره بود. همچنین در این مطالعه بافت کلیه دچار آسیب شده بود. این تغییرات با هیستوپاتولوژی غیرطبيعي بافت کلیه مانند فیبروز گلومرولی و انتشار سلولهای التهابی در کلیه ارتباط دارد و نشان دهنده سمیت این نانو ذره است (۲۵).

مطالعه Esmaeilou و همکاران نیز نشان دهنده تغییرات پاتولوژیک کلیه (مانند قطعه قطعه شدن گلومرول، تجزیه هیدروپیک در سلولهای اندوتیلیا و ...) در گروه تیماری نانو اکسید ارنی، نسبت به گروه کترل می باشد (۲۶). اکسیداتیو استرس و پراکسیداسیون لیپید نقش مهمی را در سمیت نانوذرات به ویژه نانوذرات اکسید روی بازی می کنند. به خصوص که این نانوذرات قابلیت حلالیت بالا در مایع اسیدی معده دارند و براحتی در اندامها نفوذ و تجمع می کنند (۲۷).

نتایج این تحقیق نشان داد که در روز هفتم پس از تیمار، میزان اسید اوریک در هر دو دوز تیمار افزایش معنی دار نشان داد. در گروه دوم (Fe2Nio4Zn 200ppnm) میزان اسید اوریک در روزهای ۲ و ۱۴ پس از تیمار نیز افزایش معنی دار یافت. میزان اوره در هر دو دوز تیمار در روزهای ۷-۲-۱۴ نسبت به گروه کترل کاهش نشان داد. میزان کراتینین فقط در دوز (Fe2Nio4Zn 200ppnm) بالا کاهش معنی دار داشت.

کلیه ارگان مهمی برای دفع مواد زائد از بدن است. تعادل آب و الکترولیتها از طریق این اندام تنظیم می گردد. بررسی هیستولوژی و محصولات متابولیسمی زائد دفع شده از کلیه، اطلاعات سودمندی را در باره سلامتی این ارگان به دست می دهد. اوره و کراتینین از اندیکاتورهای مهم عملکرد کلیه هستند. افزایش این مواد نشان دهنده اختلال در عملکرد کلیه می باشد (۳).

بر اساس مطالعات قبلی اکسید روی یکی از سمی ترین نانوذرات، در بین نانوذرات اکسید فلزی که در اکثربی ارگانها به ویژه ریه، کلیه، کبد، پانکراس نفوذ و انتشار می یابد، می باشد (۸).

مطالعات نشان می دهد که نانوذرات به سرعت در اندامها جذب شده و بالاترین تجمع را در اندامهای کبد، طحال، ریه، اثرورت و پیاز بويابی دارند. محققین بر این باورند که نانوذرات به علت اندازه کوچک و بزرگ بودن سطح نسبت به حجمشان موثرتر از bulk counter parts می باشند (۹-۱۰). بهر حال، طبیعت فلزی فلزات مشتق از نانوذرات و وجود فلزات انتقالی، موجب تولید رادیکالهای آزاد اکسیژن می گردد که این امر منجر به ایجاد استرس اکسیداتیو خواهد شد (۱۱-۱۲). اگر چه عده ای از محققین نانو ذرات را به عنوان ذرات غیر سمی درنظر می گیرند اما برخی از مطالعات دیگر اثرات توکسیک اینها را گزارش کرده اند (۱۳-۱۵).

در حالیکه برخی از نانوذرات ممکن است به نظر غیر توکسیک باشند اما مکانیسمهای سلولی مانند سیگنانلینگ و اعمال سلولی نرمал ممکن است در اثر حضور این مواد در اندامها مختلف گردد (۱۶-۱۷).

Amara و همکاران در سال ۲۰۱۴ تاثیر نانو ذرات اکسید روی را بر پارامترهای بیوشیمیابی کلیه و کبد رت بررسی کردند. نتایج تحقیق آنها نشان دهنده کاهش میزان کراتینین و افزایش اسید اوریک در گروه تیماری نانوذرات اکسید روی بود. این تاثیر ممکن است به علت آزاد شدن یون روی و تجمع ان در اندامها باشد (۱۸).

نوری و همکاران در سال ۱۳۹۱ تاثیر کوتاه مدت نانوذرات مغناطیسی اکسید آهن را بر عملکرد کبد و کلیه موش نژاد Balb/c بررسی کردند (۱۹). نتایج این تحقیق نشان دهنده تجمع و نفوذ این

نانوذراتی با سلولها و بافت‌های بدن جانور متفاوت خواهد بود. به نظر می‌رسد کاربرد نانوذرات  $\text{Fe}_4\text{NiO}_4\text{Zn}$  در موارد بیولوژیک، اثر سمعی پایدار و طولانی مدت بر بدن جانداران ایجاد نمی‌کند و احتمالاً سیستم رتیکولوانتوپلیال موجود در بدن قادر به دفع یا تجزیه آنها می‌باشد.

## نتیجه گیری

نتایج این تحقیق نشان دهنده تاثیر نانوذره ترکیبی  $\text{Fe}_4\text{NiO}_4\text{Zn}$  بر عملکرد کلیه است. علت تفاوت در نفوذ و آسیب بافتی نانوذرات، در مطالعات مختلف، احتمالاً، تفاوت در روش سنتز آنها می‌باشد که منجر به تغییر در اندازه، شکل و خواص فیزیکی و شیمیایی نانوذرات شده است. بنابراین تاثیر و برهمکنش چنین

## References

- Meyer M, Kuusi O. Nanotechnology: Generalizations in an interdisciplinary field of science and technology. *International Journal for philosophy of chemistry* 2004; **2**:153-168.
- Revell PA. The biological effects of nanoparticles. *Nanotechnology Perceptions* 2006; **2**: 283-298.
- Zhang H, Zou K. Nano structural drug inorganic clay composites: structure, thermal property and invitro release of captopril-intercalated MG al-layered double hydroxides. *Journal of Solid State Chemistry* 2006; **179**:1792-1801.
- Balasubramanian SK<sup>1</sup>, Jittiwat J, Manikandan J, Ong CN, Yu LE, Ong WY. Biodistribution of gold nanoparticles and gene expression changes in the liver and spleen after intravenous administration in rats. *Biomaterials* 2010; **31**:2034-42.
- Yan L, Zheng YB, Zhao F, Li S, Gao X, Xu B, et.al. Chemistry and physics of a single atomic layer: Strategies and challenges for functionalization of graphene and graphene-based materials. *ChemSoc Rev* 2012; **41**: 97-114.
- Tang F, Li L, Chen D. Mesoporous silica nanoparticles: Synthesis, biocompatibility and drug delivery. *Adv Mater* 2012; **24**: 1504-1534.
- Mohamed Anwar K, Abdelhalim and Bashir M Jarrar. The appearance of renal cells cytoplasmic degeneration and nuclear destruction might be an indication of GNPs toxicity. *Lipids in Health and Disease* 2011; **10**:147.
- Guan R, Kang T, Lu F, Zhang Zh, Shen H, Liu M. Cytotoxicity, oxidative stress, and genotoxicity in human hepatocyte and embryonic kidney cells exposed to ZnO nanoparticles. *Nanoscale Research Letters* 2012; **7**: 1-7.
- Lanone S, Boczkowski J. Biomedical applications and potential health risks of nanomaterials: molecular mechanisms. *Curr Mol Med* 2006; **6**:651-663.
- Yu LE, Yung L-YL, Balasubramaniam KS, Hartono D, et al: Translocation and effects of gold nanoparticles after inhalation exposure in rats. *Nano toxicology* 2007; **3**:235-242.
- MacNee W, Donaldson K. Mechanism of lung injury caused by PM10 and ultrafine particles with special reference to COPD. *Eur Respir J* 2003; **21**: 47S-51S.
- Jia HY, Liu Y, Zhang XJ, Han L, Du LB, Tian Q, et.al: Potential oxidative stress of gold Nanoparticles by induced NO releasing in serum. *J Am Chem Soc* 2009; **131**(1):40-41.
- Chithrani BD, Chan WC. Elucidating the mechanism of cellular uptake and removal of protein-coated gold nanoparticles of different sizes and shapes. *Nano Lett* 2007; **7**:1542-1550.
- Pan Y, Neuss S, Leifert A, Fischler M, Wen F, Simon U, et.al. Size-dependent cytotoxicity of gold nanoparticles. *Small* 2007; **3**:1941-1949.
- BarathManiKanth S, Kalishwaralal K, Sriram M, Pandian SRK, Youn H, SooHyunEom S, et.al. Anti-oxidant effect of gold nanoparticles restrains hyperglycemic conditions in diabetic mice. *Journal of Nano biotechnology* 2010; **8**:16.
- Hussain SM, Hess KL, Gearhart JM, Geiss KT, Schlager JJ. In vitro toxicity of nanoparticles in BRL- 3A rat liver cells. *Toxicol in Vitro* 2005; **19**:975-983.
- SchrandAM, Bradich-Stolle LK, Schlager JJ, Dai L, Hussain SM. Can silver nanoparticles be useful as potential biological labels? *Nanotechnology* 2008; **9**:1-13.
- Amara S, Slama IB, Mrad I, Rihane N, Khemissi W, El Mir L, et.al. Effects of zinc oxide nanoparticles and/or zinc chloride on biochemical parameters and mineral levels in rat liver and kidney. *Hum Exp Toxicol* 2014; **33**(11):1150-1117.
- Noori A, Amiri GH, Taj B, Nasr esfahani M, Taj S, Valiani A. The Effect of Magnetic Iron Oxide Nanoparticles on Mice Liver and KidneyBalb/C. *Journal of Kerman University Medical Sciences* 2012; **3**: 243-252.
- Jain TK, Reddy MK, Morales MA, Leslie-Pelecky DL, Labhasetwar V. Biodistribution, clearance, and biocompatibility of iron oxide magnetic nanoparticles in rats. *Mol Pharm* 2008; **5**:316-27.
- Garcia MP, Parca RM, Chaves SB, Silva LP, Santos AD, Marques Lacava ZJ, et.al. Morphological analysis of mouse lungs after treatment with magnetite-based magnetic fluid stabilized with DMSA. *Journal of Magnetism and Magnetic Materials* 2003; **293**(1): 277-282.
- Chaves SB, Lacava LM, Lacava ZGM, Silva O, Pelegrini F, Buske N, et.al. Light microscopy and magnetic resonance characterization of a DMSA -coated magnetic fluid in mice. *IEEE Transactions on Magnetics* 2002; **38**(5):3231-3233.
- Shubayev VI, Pisanic TR, Jin S. Magnetic nanoparticles for theragnostics. *Adv Drug Deliv Rev* 2009; **61**(6): 467-477.
- Noori A, Karimi F, Fatahian S, Yazdani F. Effects of zinc oxide nanoparticles on renal function in mice. *KAUMS Journal (FEYZ)* 2013; **16**:603-604
- Najafzadeh H, Ghoreishi S.M, Mohammadian B, Rahimi E, Afzalzadeh M.R, Kazemivarnamkhasti M, et.al. Serum biochemical and histopathological changes in liver and kidney in lambs after zinc oxide nanoparticles administration. *Vet world* 2013; **25**:534-537.
- Esmaillou M, Moharamnejad M, Hsankhani R, Tehrani AA, Maadi H. Toxicity of ZnO nanoparticles in healthy adult mice. *Environmental Toxicology and Pharmacology* 2013; **35**: 67-71.
- Cho WS, Kang BC, Lee JK, Jeong J, Che JH, Seok SH. Comparative absorption, distribution, and excretion of Titanium Dioxide and Zinc Oxide nanoparticles after repeated oral administration. *Particle and Fibre Toxicology* 2013; **10**: 1-9.